

# Особые частоты в спектрах оптического отражения от резонансных брэгговских структур

© М.М. Воронов, Е.Л. Ивченко, А.Н. Поддубный, В.В. Чалдышев

Физико-технический институт им. А.Ф. Иоффе Российской академии наук,  
194021 Санкт-Петербург, Россия

E-mail: poddubny@coherent.ioffe.ru

(Поступила в Редакцию 23 декабря 2005 г.)

Теоретически исследованы спектры оптического отражения от резонансных брэгговских структур с квантовыми ямами. Дано аналитическое объяснение наличия в спектрах двух особых частот, на которых коэффициент отражения слабо зависит от числа квантовых ям в структуре. Проанализировано влияние нерадикационного затухания экситона на спектры отражения вблизи особых частот. Показано, что учет диэлектрического контраста приводит к появлению в спектрах третьей особой частоты, на которой взаимно компенсируются вклады в отражение, связанные с диэлектрическим контрастом и экситонным резонансом.

Работа поддержана программами РАН и грантом Российского фонда фундаментальных исследований № 05-02-17778.

PACS: 73.21.Fg, 78.67.De, 71.35.-y

## 1. Введение

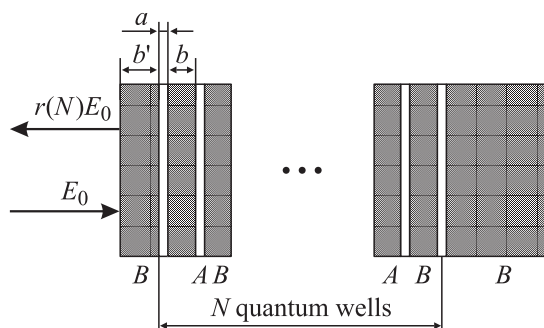
Резонансные брэгговские структуры с квантовыми ямами были впервые рассмотрены теоретически в работе [1], а затем экспериментально исследованы в системах, выращенных на основе полупроводников  $A^{II}B^{VI}$  [2–4] и  $A^{III}B^V$  [5–8]. Теория оптической спектроскопии резонансных брэгговских структур получила дальнейшее развитие в работах [9–16]. В резонансных брэгговских структурах без диэлектрического контраста, т.е. с совпадающими диэлектрической проницаемостью барьера  $\epsilon_b \equiv n_b^2$  и фоновой диэлектрической проницаемостью ямы  $\epsilon_a \equiv n_a^2$ , спектр оптического отражения при малом числе квантовых ям  $N$  представляет собой лоренциан с полушириной  $N\Gamma_0 + \Gamma$ , где  $\Gamma_0$  и  $\Gamma$  — соответственно радиационное и нерадикационное затухание экситона [1]. При очень большом числе ям коэффициент отражения близок к единице внутри запрещенной зоны экситонных поляритонов и резко уменьшается вблизи ее границ  $\omega_0 - \Delta$  и  $\omega_0 + \Delta$ , где  $\Delta = \sqrt{2\omega_0\Gamma_0/\pi}$  [11,14]. В работах [14,15] рассчитаны спектры отражения при произвольных значениях  $N$ , включая промежуточную область, в которой  $N\Gamma_0$  и  $\Delta$  сопоставимы. Расчет показывает, что имеются две особые частоты, вблизи которых коэффициент отражения от резонансной брэгговской структуры с согласованными диэлектрическими константами принимает значения, близкие к коэффициенту отражения от однородного материала с показателем преломления  $n_b$  и практически не зависящие от числа квантовых ям. В настоящей работе дается аналитическое объяснение этого эффекта. Кроме того, проанализировано влияние диэлектрического контраста  $\epsilon_a - \epsilon_b \neq 0$  на существование изучаемых особых частот.

## 2. Структуры с согласованными диэлектрическими константами

Рассматриваемая структура схематически показана на рис. 1: она граничит слева с вакуумом и включает покрывающий слой из материала барьера  $B$  толщиной  $b'$ ,  $N$  квантовых ям из материала  $A$  (каждая толщиной  $a$ ), разделенных барьерами толщиной  $b$ , и полубесконечную среду  $B$ . Амплитудный коэффициент отражения при нормальном падении света частоты  $\omega$  со стороны вакуума на покрывающий слой записывается в виде [1]

$$r(N) = \frac{r_{01} + \tilde{r}_N e^{2i\phi}}{1 + r_{01} \tilde{r}_N e^{2i\phi}}. \quad (1)$$

Здесь  $r_{01} = (1 - n_b)/(1 + n_b)$  — коэффициент отражения вакуум–полубесконечная среда  $B$ ;  $\phi = k_b(b' - b/2)$ ,  $k_b = n_b(\omega/c)$ ,  $c$  — скорость света в вакууме;  $\tilde{r}_N$  — коэф-



**Рис. 1.** Схематическое изображение структуры с квантовыми ямами, для которой рассчитывается амплитудный коэффициент отражения  $r(N)$  при нормальном падении света амплитуды  $E_0$ .

коэффициент отражения от структуры с  $N$  квантовыми ямами, помещенными между неограниченными барьерами. Этот коэффициент отнесен к плоскости, расположенной на расстоянии  $(a+b)/2$  от центра крайней левой ямы, и для него справедливо выражение [10,17]

$$\tilde{r}_N = \frac{\tilde{r}_1}{1 - \tilde{t}_1 \frac{\sin(N-1)Kd}{\sin N K d}}, \quad (2)$$

где комплексные коэффициенты  $\tilde{r}_1, \tilde{t}_1$  описывают амплитудное отражение и пропускание света слоем толщиной  $d = a + b$  с ямой, находящейся в центре слоя,  $K$  — волновой вектор экситонного поляритона на частоте  $\omega$  в бесконечной периодической структуре. Для структуры без диэлектрического контраста имеем [11,17]

$$\tilde{r}_1 = e^{ik_b d} r_1, \quad \tilde{t}_1 = e^{ik_b d} (1 + r_1),$$

$$r_1 = \frac{i\Gamma_0}{\omega_0 - \omega - i(\Gamma_0 + \Gamma)}, \quad (3)$$

где  $\omega_0$  — резонансная частота экситона.

На рис. 2 представлены спектры отражения от резонансной брэгговской структуры с согласованными диэлектрическими константами. Спектры рассчитаны в отсутствие нерадикационного затухания ( $a$ ) и при  $\hbar\Gamma = 100 \mu\text{eV}$  ( $b$ ). Остальные параметры указаны в подписи к рисунку. В согласии с [14,15] в спектрах, показанных на рис. 2,  $a$  и  $b$ , имеются две частоты, обозначенные  $\omega_+$  и  $\omega_-$  и указанные стрелками, на которых коэффициент отражения  $R_N = |r(N)|^2$  близок к  $r_{01}^2$  и почти не зависит от  $N$  при  $N < 100$ . Особые частоты привязаны к краям запрещенной зоны экситонных поляритонов  $\omega_0 \pm \Delta$  таким образом, что

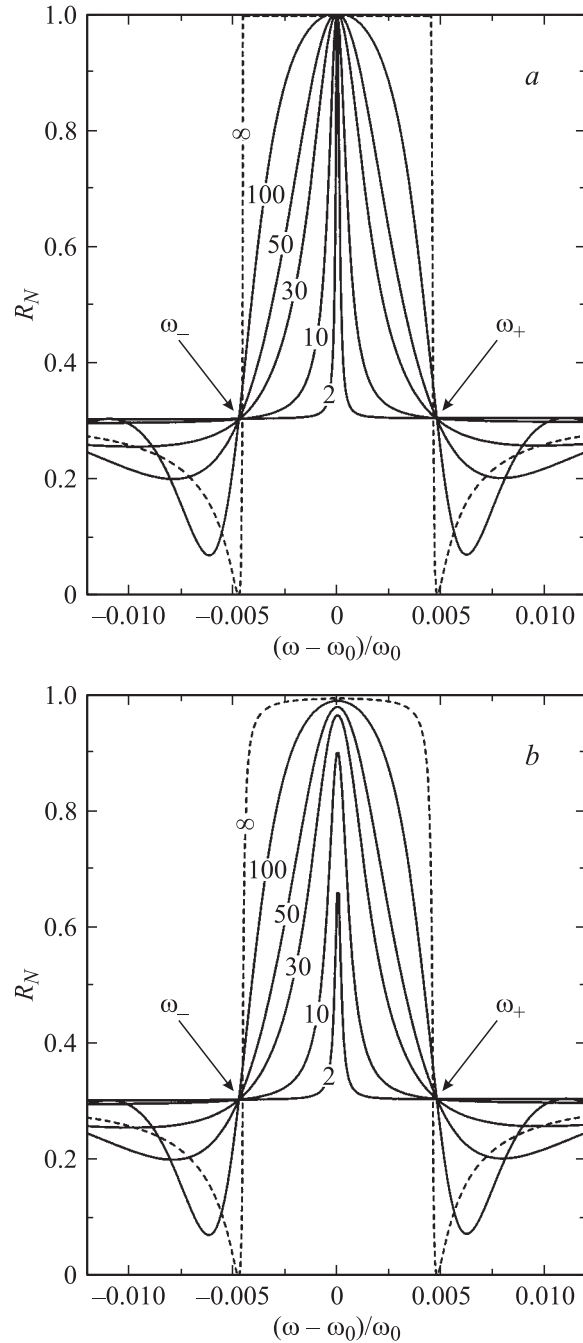
$$\varepsilon_+ \equiv \omega_+ - (\omega_0 + \Delta) \ll \Delta \quad \text{и} \quad \varepsilon_- \equiv (\omega_0 - \Delta) - \omega_- \ll \Delta. \quad (4)$$

С другой стороны, коэффициент отражения  $R_\infty$  от полубесконечной структуры (кривые  $\infty$  на рис. 2,  $a$  и  $b$ ) испытывает резкое изменение от значений, близких к единице при  $\Gamma \neq 0$  или равных единице при  $\Gamma \rightarrow +0$  внутри запрещенной зоны, к значениям  $R_\infty < r_{01}^2$  в примыкающих разрешенных зонах. При больших значениях  $N$ , превышающих 1000, спектр отражения  $R_N(\omega)$  от структуры с  $\hbar\Gamma = 100 \mu\text{eV}$  близок к  $R_\infty(\omega)$ , а при  $\Gamma = 0$  спектр сильно осциллирует вне области запрещенной зоны с периодом осцилляций, уменьшающимся с ростом  $N$ .

Наличие особых частот  $\omega_\pm$  в спектрах отражения можно объяснить, если заметить, что в окрестности краевых частот  $\omega_0 \pm \Delta$ , где  $N|Kd - \pi| \ll 1$ , для отношения синусов в (2) применимо приближение

$$\frac{\sin(N-1)Kd}{\sin N K d} \approx -\frac{N-1}{N}. \quad (5)$$

Поэтому коэффициент отражения  $\tilde{r}_N$ , а значит, и коэффициент отражения (1) можно представить в виде



**Рис. 2.** Коэффициент отражения  $R_N$  от структуры с  $N$  квантовыми ямами при согласованных диэлектрических константах материалов  $A$  и  $B$ . Расчет проводился при следующих значениях параметров структуры: фоновый показатель преломления  $n_b = 3.45$ , резонансная частота  $\hbar\omega_0 = 1.533 \text{ eV}$ , радиационное затухание экситона  $\hbar\Gamma_0 = 50 \mu\text{eV}$  и нерадикационное затухание  $\Gamma = 0$  ( $a$ ) или  $\hbar\Gamma = 100 \mu\text{eV}$  ( $b$ ). Кривые рассчитаны для шести структур с различным количеством квантовых ям  $N$ , указанным около каждой кривой. Символом  $\infty$  отмечен спектр отражения от структуры с бесконечным числом ям ( $N \rightarrow \infty$ ).

дробно-линейной функции

$$r(N) = \frac{\alpha N + \beta}{\gamma N + \delta} \quad (6)$$

с коэффициентами

$$\begin{aligned}\alpha &= r_{01}(1 + \tilde{t}_1) + e^{2i\phi} \tilde{r}_1, & \beta &= -r_{01} \tilde{t}_1, \\ \gamma &= 1 + \tilde{t}_1 + e^{2i\phi} r_{01} \tilde{r}_1, & \delta &= -\tilde{t}_1.\end{aligned}\quad (7)$$

Заметим, что эта формула применима для произвольной периодической структуры с  $N$  периодами, если под  $\tilde{r}_1, \tilde{t}_1$  понимать коэффициенты отражения и пропускания для слоя толщиной  $d$ , помещенного между полубесконечными средами с показателем преломления  $n_b$ . В частном случае структуры с  $N$  квантовыми ямами и согласованными диэлектрическими константами вместо (7) имеем

$$\alpha = r_{01}(1 + e^{i\phi_d})(\omega_0 - \omega - i\Gamma) + i\Gamma_0(e^{i(\phi_d+2\phi)} - r_{01}),$$

$$\beta = r_{01}\delta, \quad \delta = -e^{i\phi_d}(\omega_0 - \omega - i\Gamma),$$

$$\gamma = (1 + e^{i\phi_d})(\omega_0 - \omega - i\Gamma) + i\Gamma_0(r_{01}e^{i(\phi_d+2\phi)} - 1), \quad (8)$$

где  $\phi_d = k_b d$  и для удобства записи коэффициенты в (8) отличаются от (7) общим множителем  $\omega_0 - \omega - i(\Gamma_0 + \Gamma)$ , что не меняет  $r(N)$  в (6).

Продолжим функцию  $r(N)$  аналитически на всю комплексную плоскость  $z = z' + iz''$ . Учтем далее, что дробно-линейное преобразование  $r(z)$  переводит окружность в окружность, прямую можно представить окружностью с бесконечным радиусом и точки  $z = 1, 2, \dots, N, \dots$  лежат на вещественной оси. Поэтому комплексные значения  $r(N)$  лежат на окружности с центром в некоторой точке  $w_0$  и радиусом  $\rho$ , так что

$$r(N) = w_0 + \rho e^{i\phi_N}, \quad (9)$$

где от  $N$  зависит только фаза  $\phi_N$ . Значения  $w_0$  и  $\rho$  связаны с  $\alpha, \beta, \gamma, \delta$  соотношениями [18]

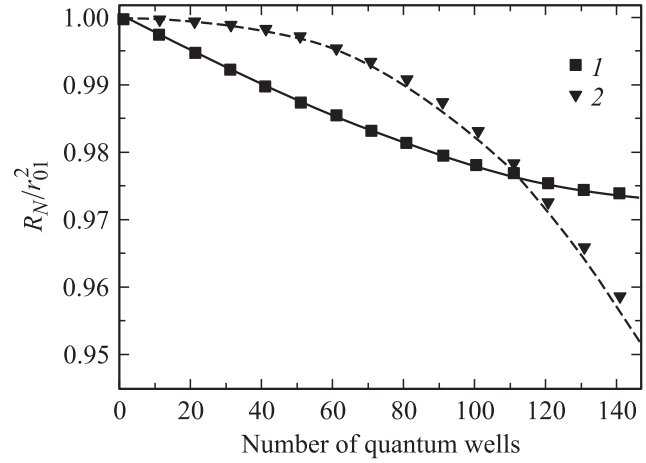
$$w_0 = \frac{i}{2} \frac{\alpha\delta^* - \beta\gamma^*}{\text{Im}(\gamma^*\delta)}, \quad \rho = \left| \frac{\alpha}{\gamma} - w_0 \right|. \quad (10)$$

Согласно (9), имеем

$$R_N \equiv |r(N)|^2 = |w_0|^2 + \rho^2 + 2\rho \text{Re}(w_0^* e^{i\phi_N}). \quad (11)$$

Если найдется такая частота  $\omega$ , при которой значение  $w_0$  обращается в нуль (или близко к нулю), то на этой частоте коэффициент отражения  $R_N$  равен (или почти равен)  $|\alpha/\gamma|^2$  и не зависит от  $N$ . В том случае, когда выполняется неравенство  $|\omega - \omega_0| \gg \Gamma_0$ , экситонный вклад в коэффициент отражения при малых  $N$  незначителен и величина  $R_N$  главным образом определяется отражением света на границе вакуум-материал  $B$ . Таким образом, при малых  $N$  справедливо неравенство  $|R_N(\omega) - r_{01}^2| \ll 1$ . В силу малости величины  $|w_0(\omega)|$  это неравенство должно выполняться не только при малых  $N$ , но и при всех  $N$ , для которых применимо представление  $r(N)$  в виде дробно-линейной функции (6).

Расчет показывает, что для структуры с параметрами, указанными в подписи к рис. 2, особые частоты соответствуют значениям  $\varepsilon_{\pm} \approx 0.045\Delta$ , а величина  $|w_0(\omega)/r_{01}|$  принимает минимальное значение  $\approx 10^{-2}$



**Рис. 3.** Зависимость коэффициента отражения  $R(\omega)$  от числа квантовых ям  $N$ . Расчет проводился для частоты  $\omega_+ = \omega_0 + 1.045\Delta$ . Значения остальных параметров те же, что для рис. 2. 1 — точная зависимость при  $\Gamma = 0$ , 2 — точная зависимость при  $\hbar\Gamma = 100 \mu\text{eV}$ . Сплошная и штриховая линии — приближенный расчет при  $\Gamma = 0$  и  $\hbar\Gamma = 100 \mu\text{eV}$  соответственно.

при  $\Gamma = 0$  и  $\approx 10^{-3}$  при  $\hbar\Gamma = 100 \mu\text{eV}$ . При этом  $\rho$  совпадает с  $|r_{01}|$  с точностью до сотых процента. Для приближенного аналитического нахождения частот  $\omega_{\pm}$  коэффициенты  $\alpha, \beta, \gamma, \delta$  в (8) могут быть разложены в ряд по малым параметрам  $\Delta/\omega_0, \Gamma_0/\Delta, \varepsilon_-/\Delta$  или  $\varepsilon_+/\Delta$ . Подставляя полученные приближенные формулы в (10) и решая уравнение  $w_0 = 0$ , находим

$$\omega_{\pm} = \omega_0 \pm \Delta \left( 1 + \frac{1}{2n_b^2 - 3} \right) \quad \text{или} \quad \varepsilon_{\pm} = \frac{\Delta}{2n_b^2 - 3}. \quad (12)$$

При  $n_b = 3.45$  следующее из этой формулы отношение  $\varepsilon_{\pm}/\Delta$  отличается от численного результата всего на 8%. Следовательно, близость частот  $\omega_{\pm}$  к краям запрещенной зоны связана с большой величиной диэлектрической проницаемости  $n_b^2$ . Таким образом, приближенная запись  $r(N)$  в виде дробно-линейного преобразования (6) и малость минимального значения функции  $|w_0(\omega)|$  позволяет объяснить наличие особых частот  $\omega_{\pm}$ .

Несмотря на то что модуль амплитудного коэффициента отражения  $r(N, \omega_{\pm})$  практически не зависит от числа квантовых ям, фаза отраженной волны  $\phi_N(\omega_{\pm})$  существенно меняется с ростом  $N$  и описывается с высокой точностью линейной зависимостью

$$\phi_N(\omega_{\pm}) \approx \pi \pm \frac{4n_b\Gamma_0 N}{\Delta(n_b^2 - 1)}. \quad (13)$$

На рис. 3 (точки 1) показаны точные значения  $R_N$  на частоте  $\omega_+$ , а сплошной кривой — приближенная зависимость  $R_N(\omega_+)$ , полученная подстановкой (13) в (11). Видно, что приближенная формула с высокой точностью воспроизводит результаты численного расчета.



Поскольку эти частоты расположены вблизи краев запрещенной зоны экситонных поляритонов, применимо разложение (5). При  $\Gamma \neq 0$  необходимо аналогично (14) учитывать слагаемые, квадратичные по разности  $Kd - \pi$ . Так же как и в случае  $n_a = n_b$ , на частотах  $\omega_{\pm}$  модуль коэффициента отражения  $r(N)$  слабо зависит от  $N$ , но фаза зависит от  $N$  существенно. Закон изменения  $\phi_N$  на частоте  $\omega$ , близкой к верхнему или нижнему краю поляритонной запрещенной зоны, может быть приближенно описан выражением

$$\phi_N(\omega) = \pi + \left( \frac{\Gamma_0}{\omega - \omega_0} - 2\pi r_{ab} \frac{a}{d} \right) \frac{4n_b N}{n_b^2 - 1},$$

применимым при  $|\omega - \omega_0| \gg \Gamma_0, \Gamma$ . В частном случае  $r_{ab} = 0$  оно переходит в выражение (13).

В отличие от частот  $\omega_{\pm}$  на частоте  $\omega'_+$  как модуль, так и фаза коэффициента отражения  $r(N)$  почти не зависят от  $N$ , т.е. не только  $R_N = |r(N)|^2 \approx r_{01}^2$ , но и  $r(N) \approx r_{01}$ . Это связано с тем, что на частоте  $\omega'_+$  практически отсутствует отражение света от одной квантовой ямы, помещенной между полубесконечными барьерами, т.е. близка к нулю сумма двух слагаемых  $r^{(0)}(\omega'_+) + r_{\text{exc}}(\omega'_+)$  в выражении (15) для коэффициента отражения. На этой частоте взаимно компенсируются вклады в отражение от квантовой ямы, обусловленные наличием диэлектрического контраста и наличием экситонного резонанса [19]. Согласно (2), равенство нулю коэффициента отражения от одной ямы приводит к обращению в нуль коэффициента отражения от  $N$  таких же ям, т.е.  $\tilde{r}_N(\omega'_+) = 0$ . Поэтому амплитудный коэффициент отражения от всей структуры  $r(N, \omega'_+)$  равен  $r_{01}$  и не зависит от  $N$ .

Значение частоты  $\omega'_+$  удовлетворяет неравенствам  $|\omega'_+ - \omega_0| \gg \Gamma_0, \Gamma$ . Это позволяет пренебречь затуханиями  $\bar{\Gamma}_0$  и  $\Gamma$  в знаменателе выражения (17) для  $r_{\text{exc}}$ . Кроме того, ввиду близости показателей преломления  $n_a$  и  $n_b$  выполняется неравенство  $|r_{ab}| \ll 1$ . В пренебрежении поправками порядка  $r_{ab}^2$  в выражениях для  $r^{(0)}$  и  $t^{(0)}$  и отличием  $\bar{\Gamma}_0$  от  $\Gamma_0$  условие  $r_1(\omega'_+) = 0$  выполняется на частоте

$$\omega'_+ = \omega_0 + \frac{\Gamma_0}{2r_{ab} \sin k_a^{(0)} a}, \quad (19)$$

где  $k_a^{(0)} = n_a \omega / c$ . Видно, что неравенства  $|\omega'_+ - \omega_0| \gg \Gamma_0, \Gamma$  выполняются при достаточно малом коэффициенте  $r_{ab}$ . В пределе  $n_a \rightarrow n_b$ , когда  $r_{ab} \rightarrow 0$ , значение  $\omega'_+$  стремится к бесконечности, т.е. эта особая частота отсутствует для структуры с согласованными диэлектрическими константами. Для параметров структуры, использованных при расчете спектров на рис. 4, частоты  $\omega_+$  и  $\omega'_+$  случайно оказались близкими.

#### 4. Заключение

Для резонансной брэгговской структуры с согласованными диэлектрическими проницаемостями материалов квантовых ям и барьеров дано аналитическое объясне-

ние наличия в спектрах оптического отражения особых частот  $\omega_{\pm}$ , на которых коэффициент отражения  $R_N$  близок к  $r_{01}^2$  и слабо зависит от числа квантовых ям в структуре. Амплитудный коэффициент отражения  $r(N)$  вблизи этих частот может быть приближенно записан в виде дробно-линейной функции аргумента  $N$ , которая сопоставляет точкам на вещественной прямой точки комплексной плоскости, расположенные на окружности с центром вблизи начала координат. Это означает, что коэффициент отражения  $R(\omega_{\pm}) = |r(\omega_{\pm})|^2$  действительно почти не зависит от  $N$ , хотя фаза отраженной волны  $\arg r(N)$  хорошо аппроксимируется линейной функцией  $N$ . Мы показали, что при учете нерезонансного затухания экситона  $\Gamma \neq 0$  в спектрах отражения также присутствуют особые частоты, но чувствительность коэффициента отражения к  $N$  на этих частотах становится сильнее.

В спектрах оптического отражения от резонансной брэгговской структуры с диэлектрическим контрастом имеется не две, а три особые частоты. Появление двух из них может быть объяснено в терминах дробно-линейного преобразования так же, как и в случае  $n_a = n_b$ . На третьей частоте  $\omega'_+$  практически не происходит отражения света от одной квантовой ямы, помещенной между полубесконечными барьерами, поскольку взаимно компенсируются вклады в отражение, обусловленные диэлектрическим контрастом и наличием экситонного резонанса. Это приводит к тому, что амплитудный коэффициент отражения от структуры, содержащей произвольное количество таких ям, на частоте  $\omega'_+$  близок к  $r_{01}$ , как если бы квантовых ям не было вообще.

#### Список литературы

- [1] Е.Л. Ивченко, А.И. Несвижский, С. Йорда. ФТТ **36**, 2118 (1994).
- [2] V.P. Kochereshko, G.R. Pozina, E.L. Ivchenko, D.R. Yakovlev, A. Waag, W. Ossau, G. Landwehr, R. Hellmann, E.O. Göbel. Superlatt. Microstruct. **15**, 471 (1994).
- [3] Y. Merle d'Aubigné, A. Wasiela, H. Mariette, T. Dietl. Phys. Rev. B **54**, 14 003 (1996).
- [4] J. Sadowski, H. Mariette, A. Wasiela, R. André, Y. Merle d'Aubigné, T. Dietl. Phys. Rev. B **56**, 1664 (1997).
- [5] M. Hübner, J. Kuhl, T. Stroucken, A. Knorr, S.W. Koch, R. Hey, K. Ploog. Phys. Rev. Lett. **76**, 4199 (1996).
- [6] C. Ell, J. Prineas, T.R. Nelson, jr., S. Park, H.M. Gibbs, G. Khitrova, S.W. Koch. Phys. Rev. Lett. **80**, 4795 (1998).
- [7] G.R. Hayes, J.L. Staehli, U. Oesterle, B. Deveaud, R.T. Phillips, C. Ciuti. Phys. Rev. Lett. **83**, 2837 (1999).
- [8] J.P. Prineas, C. Ell, E.S. Lee, G. Khitrova, H.M. Gibbs, S.W. Koch. Phys. Rev. B **61**, 13 863 (2000).
- [9] В.А. Кособукин, М.М. Моисеева. ФТТ **37**, 3694 (1995).
- [10] Е.Л. Ивченко, В.П. Кочерешко, А.В. Платонов, Д.Р. Яковлев, А. Ваг, В. Оссая, Г. Ландвер. ФТТ **39**, 2072 (1997).
- [11] E.L. Ivchenko, M. Willander. Phys. Stat. Sol. (b) **215**, 199 (1999).

- [12] L.I. Deych, A.A. Lisyansky. Phys. Rev. B **62**, 4242 (2000).
- [13] G. Malpuech, A. Kavokin, W. Langbein, J.M. Hvam. Phys. Rev. Lett. **85**, 651 (2000).
- [14] T. Ikawa, K. Cho. Phys. Rev. B **66**, 85338 (2002).
- [15] L. Pilozzi, A. D'Andrea, K. Cho. Phys. Rev. B **69**, 205311 (2004).
- [16] E.L. Ivchenko, M.M. Voronov, M.V. Erementchouk, L.I. Deych, A.A. Lisyansky. Phys. Rev. B **70**, 195106 (2004).
- [17] E.L. Ivchenko. Optical spectroscopy of semiconductor nanostructures. Alpha Science International, Harrow, U.K. (2005).
- [18] М.А. Лаврентьев, Б.В. Шабат. Методы теории функций комплексного переменного. Лань, СПб (2002). 688 с.
- [19] M.V. Erementchouk, L.I. Deych, A.A. Lisyansky. Phys. Rev. B **71**, 235335 (2005).